

Fig. 1

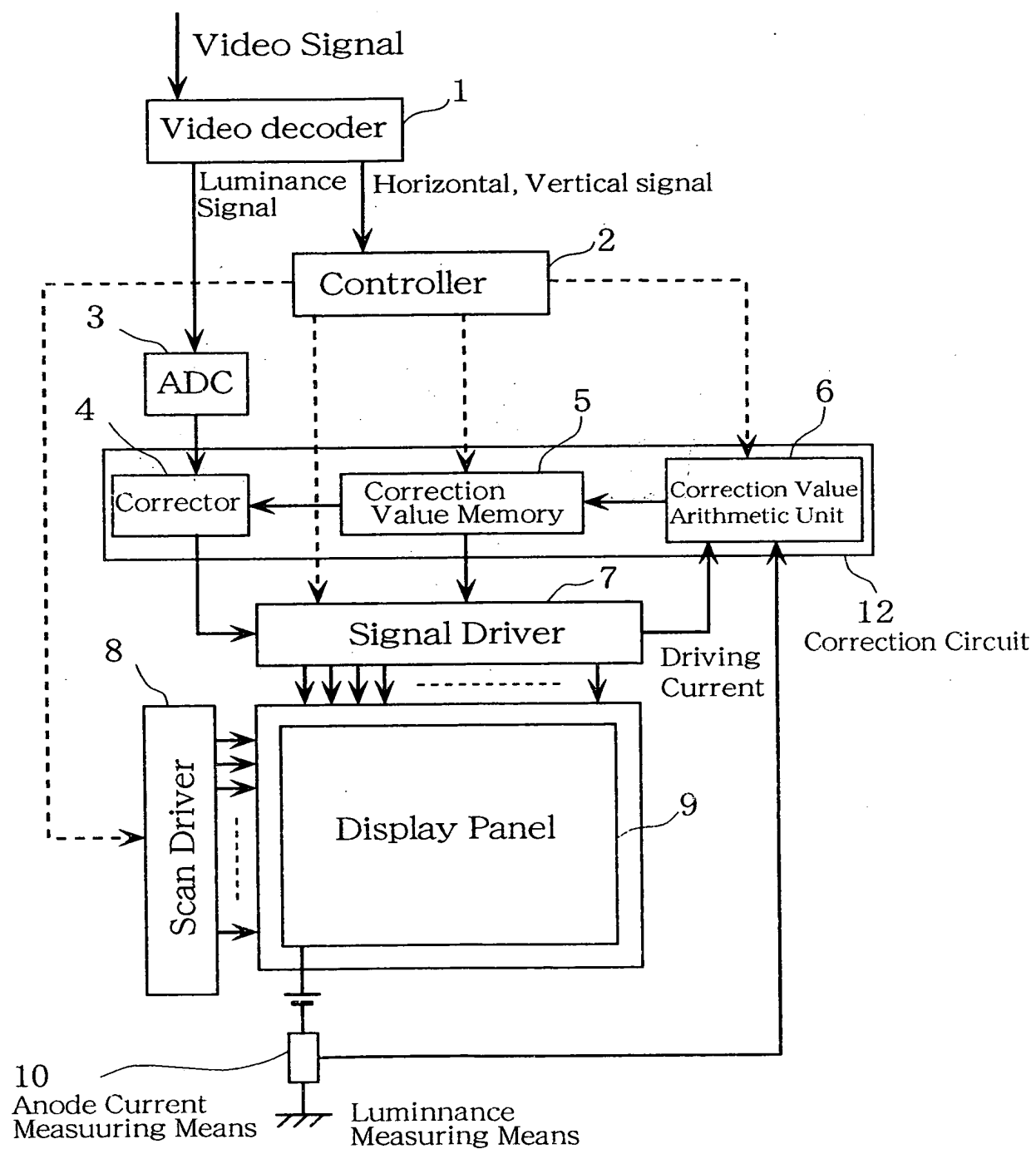
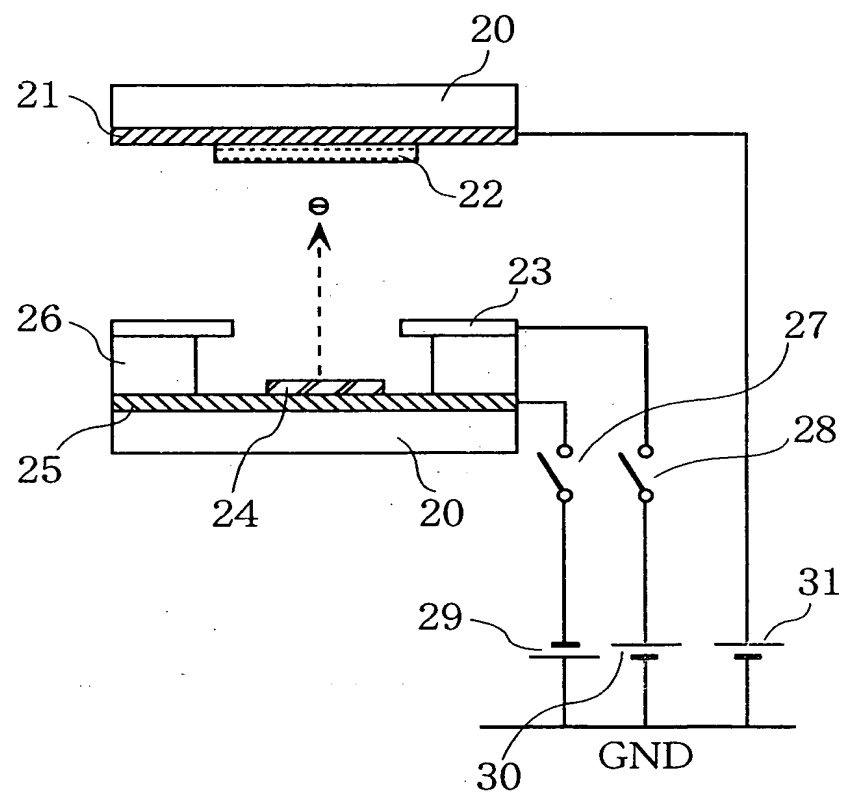


Fig. 2



10/089802

Fig. 3

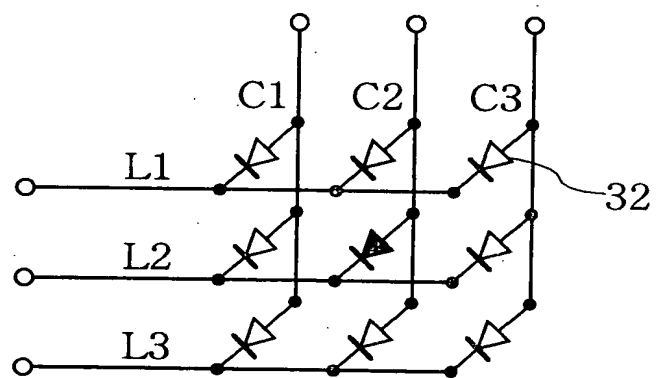


Fig. 4

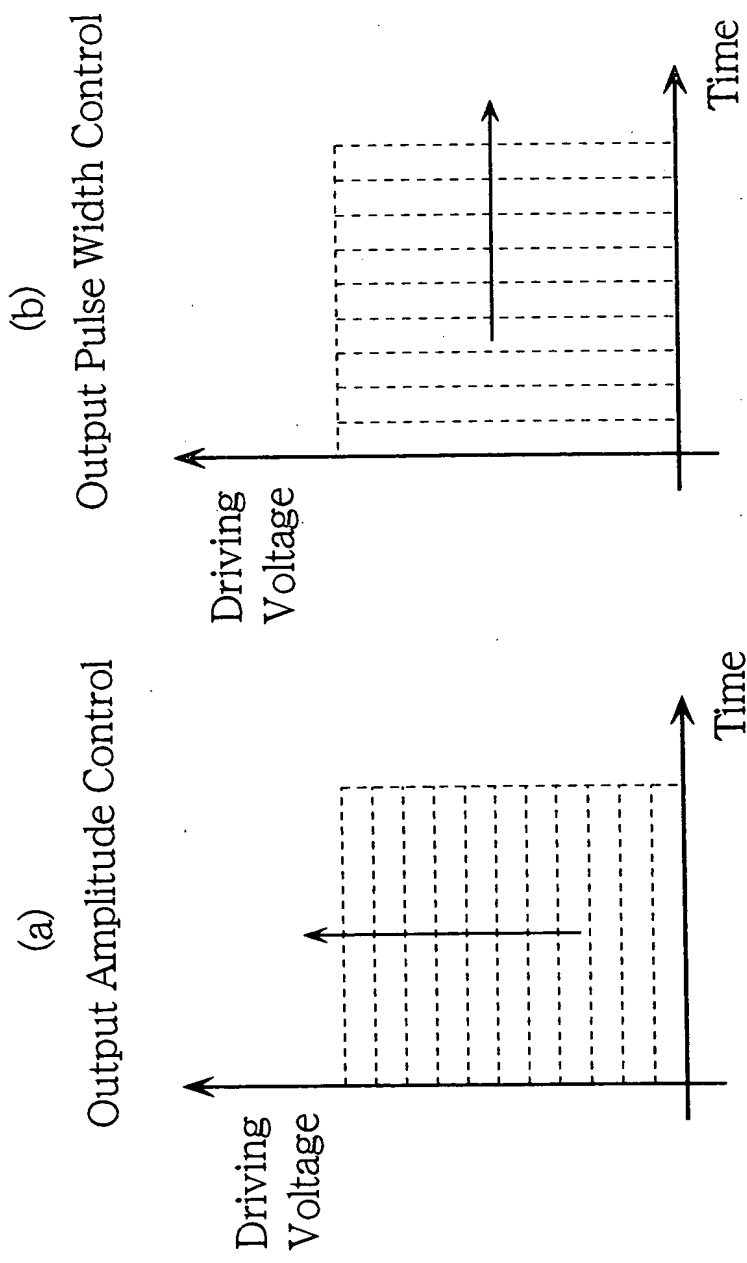


Fig. 5

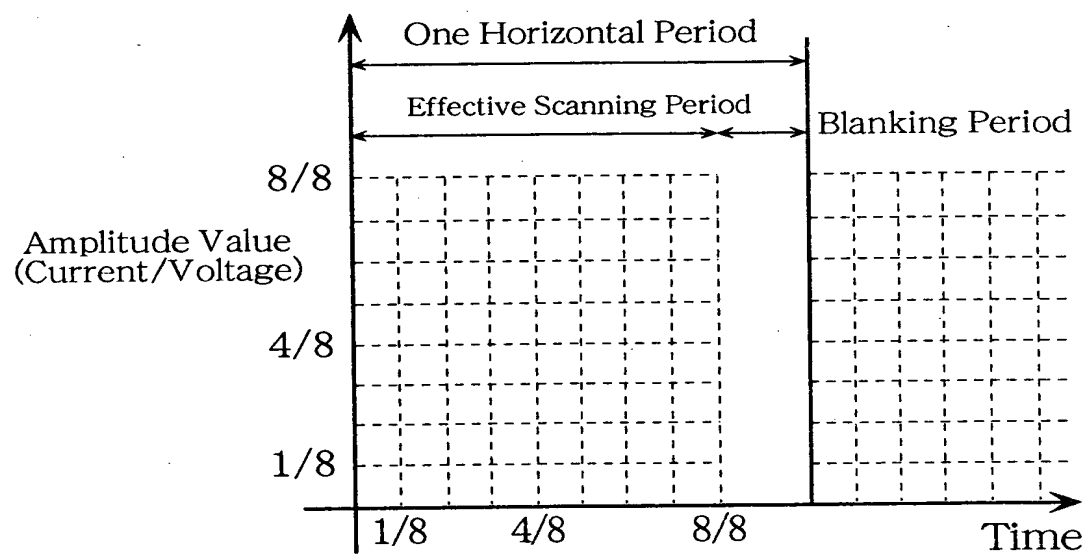


Fig. 6

Input Gray Scale Data

In Decimal	In Binary					
	A		B			
38	1	0	0	1	1	0

Fig. 7

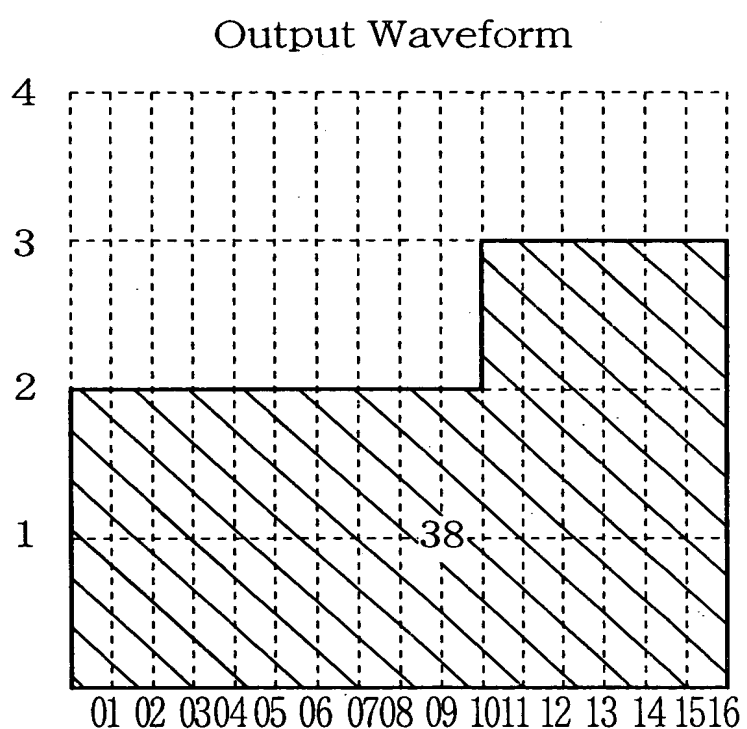


Fig. 8

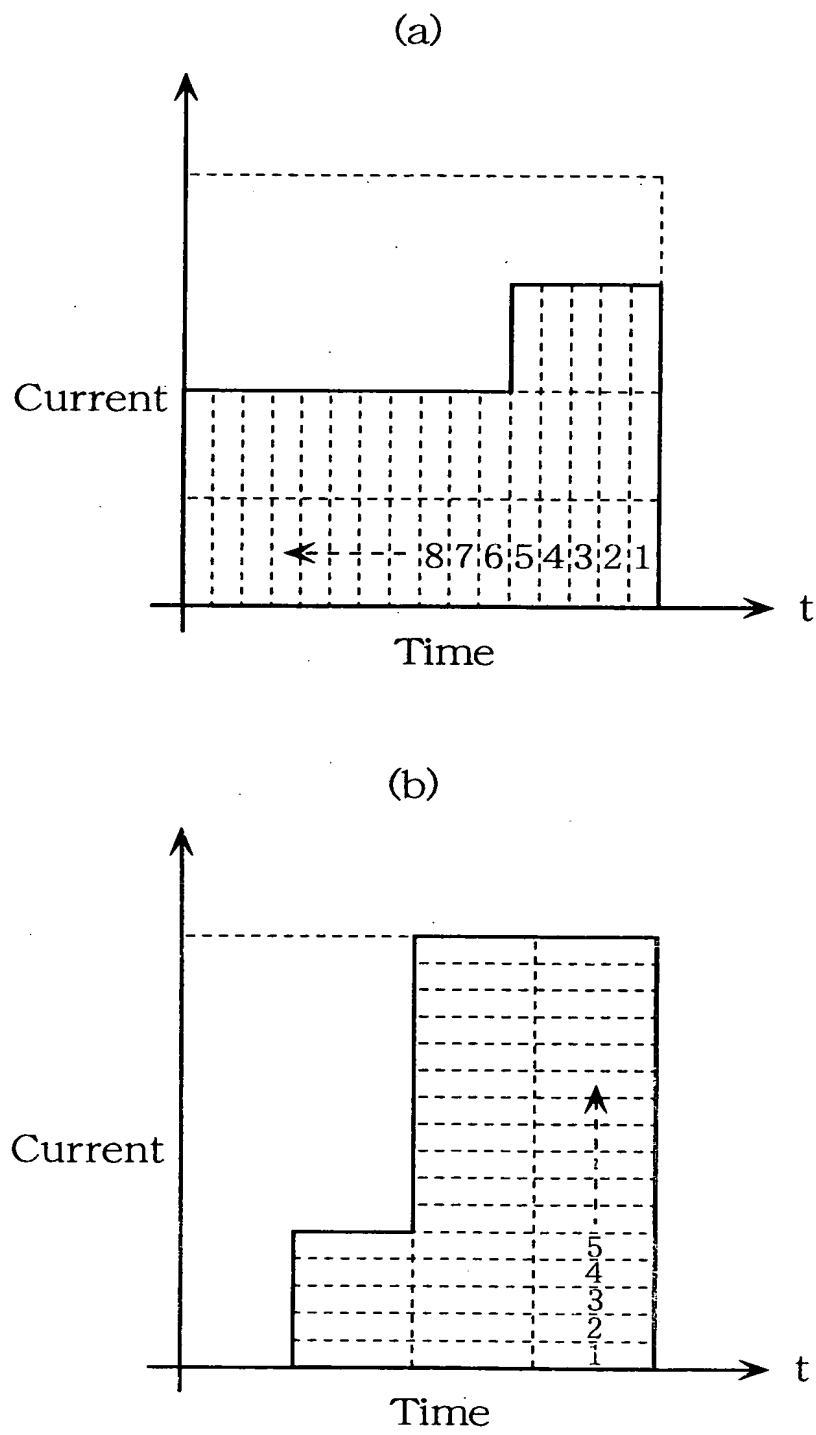


Fig. 9

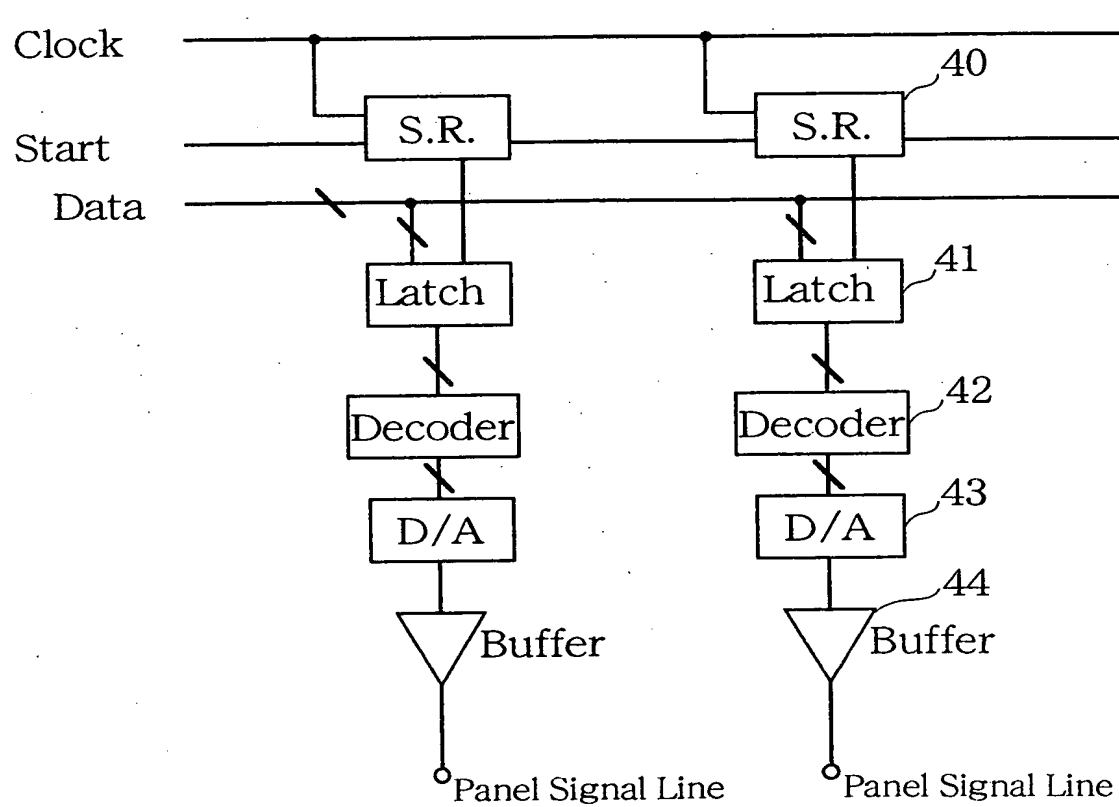


Fig. 10

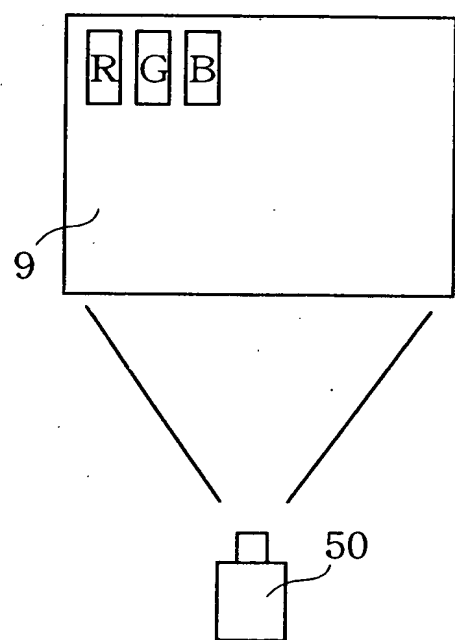
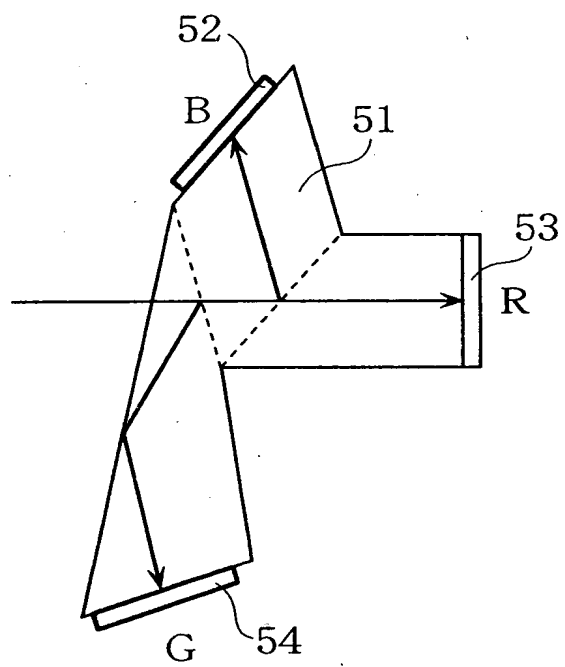


図11



10,089802

Fig. 12

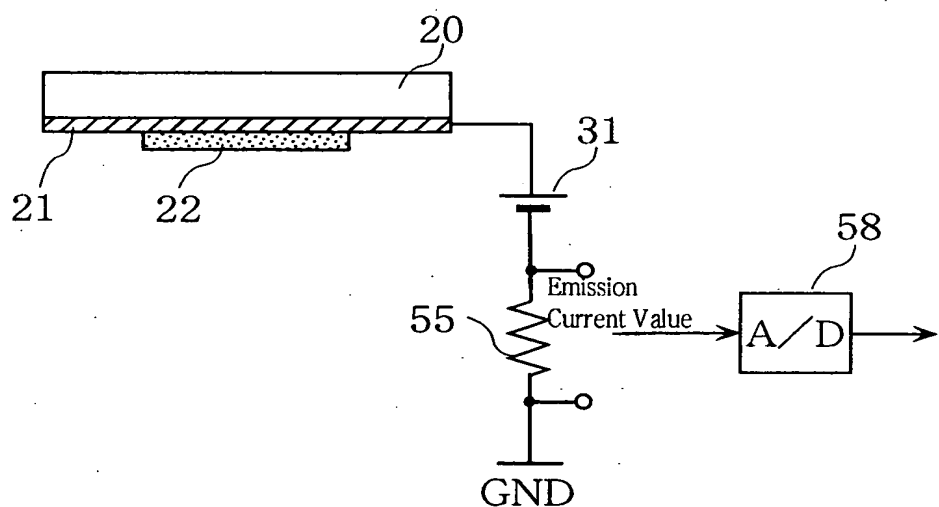


Fig. 13

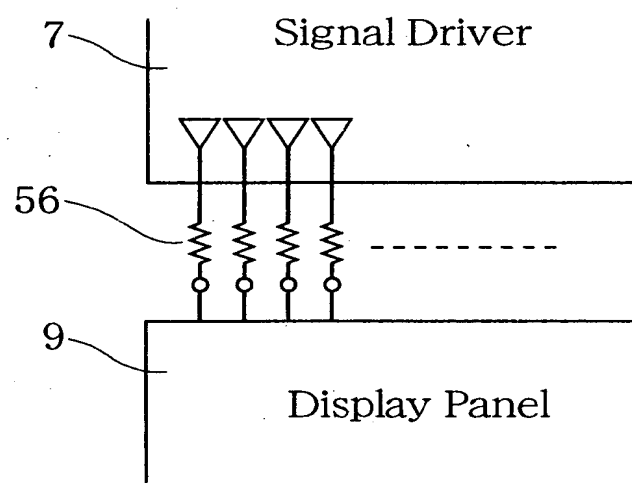


Fig. 14

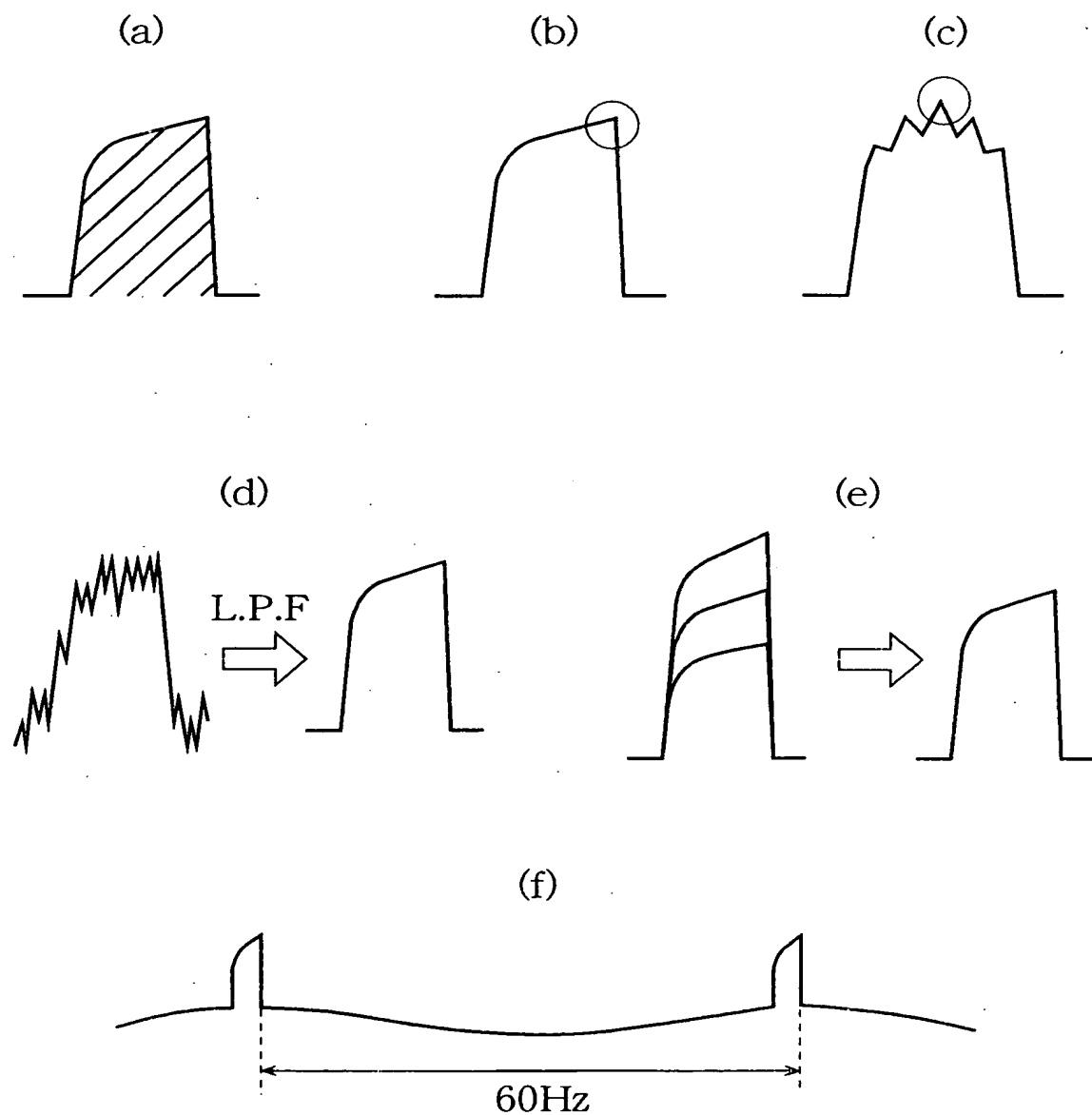
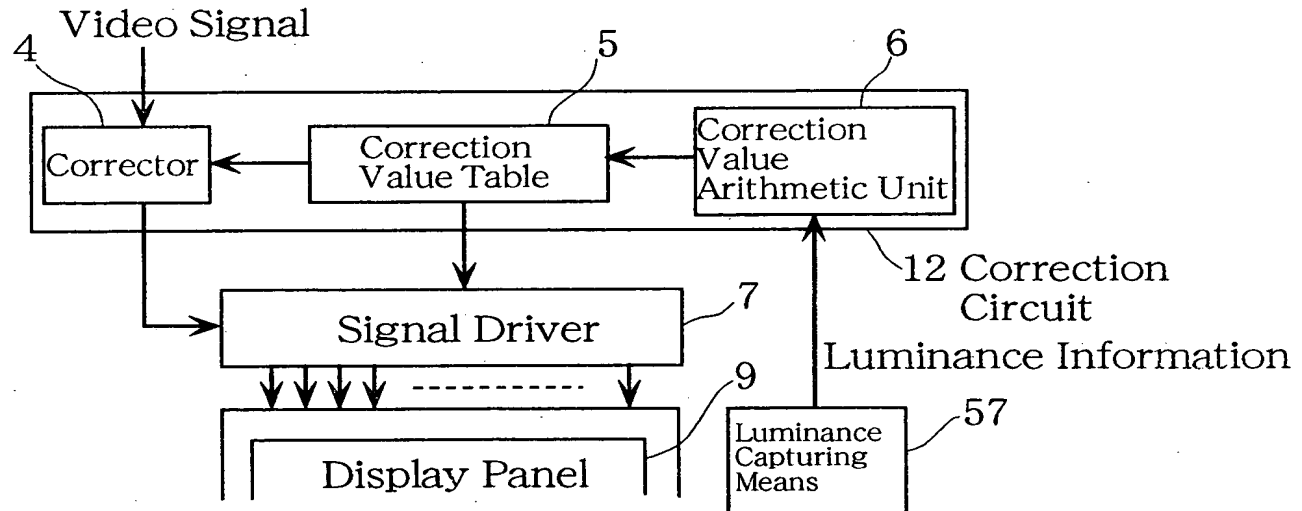


Fig. 15



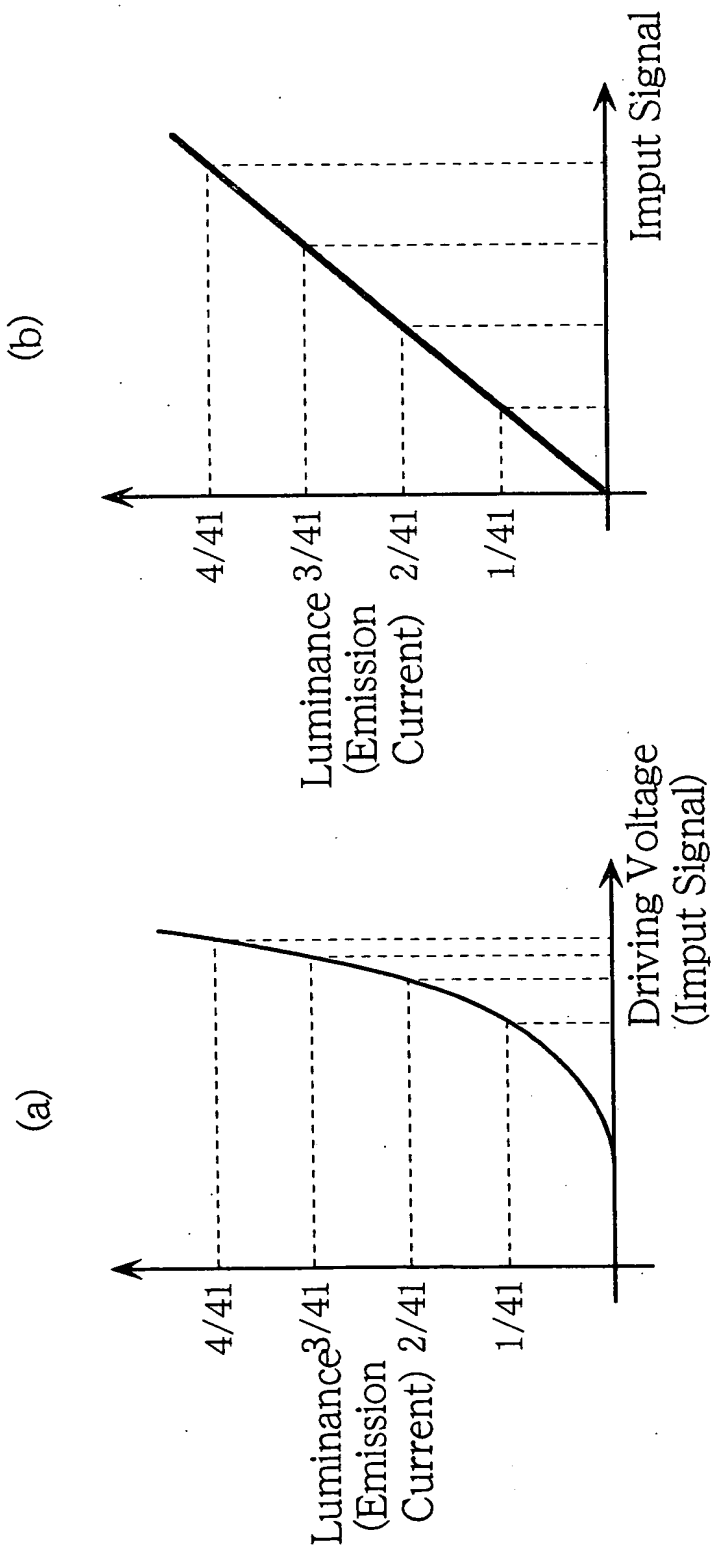


Fig. 16

Fig. 17

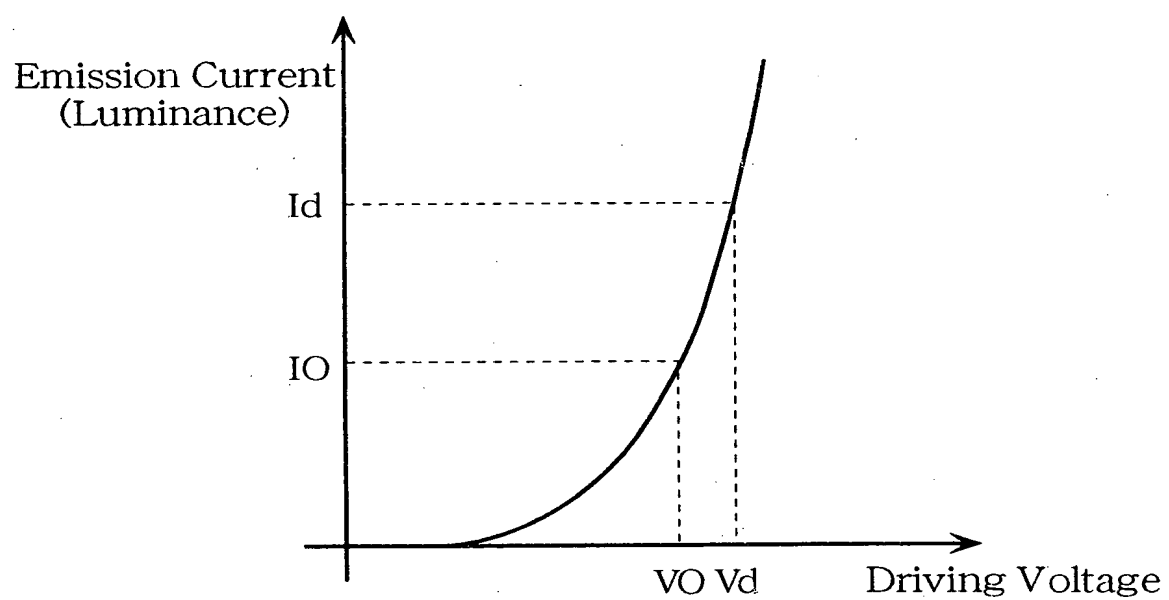


Fig. 18

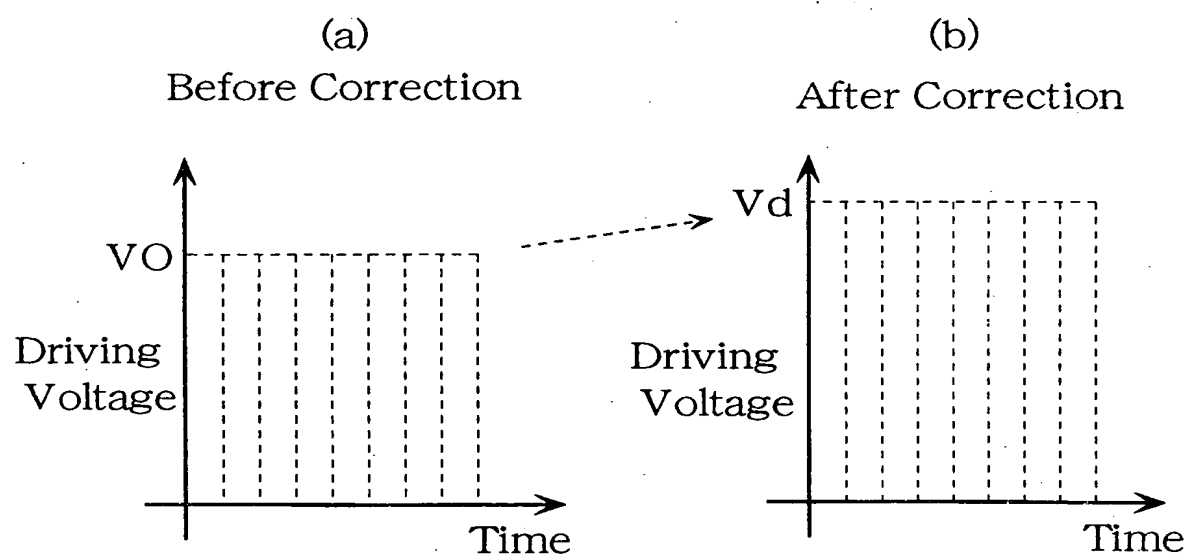
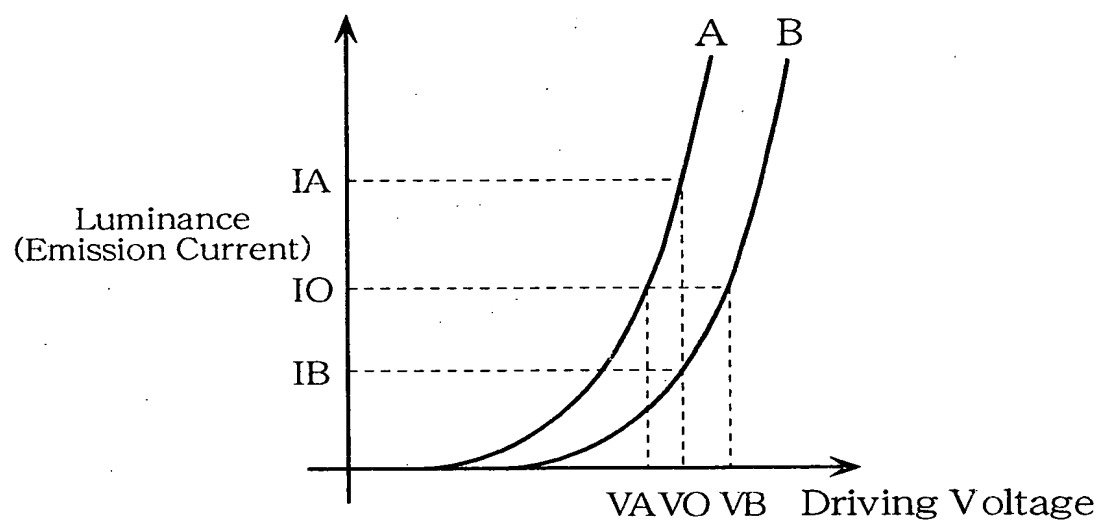


Fig. 19



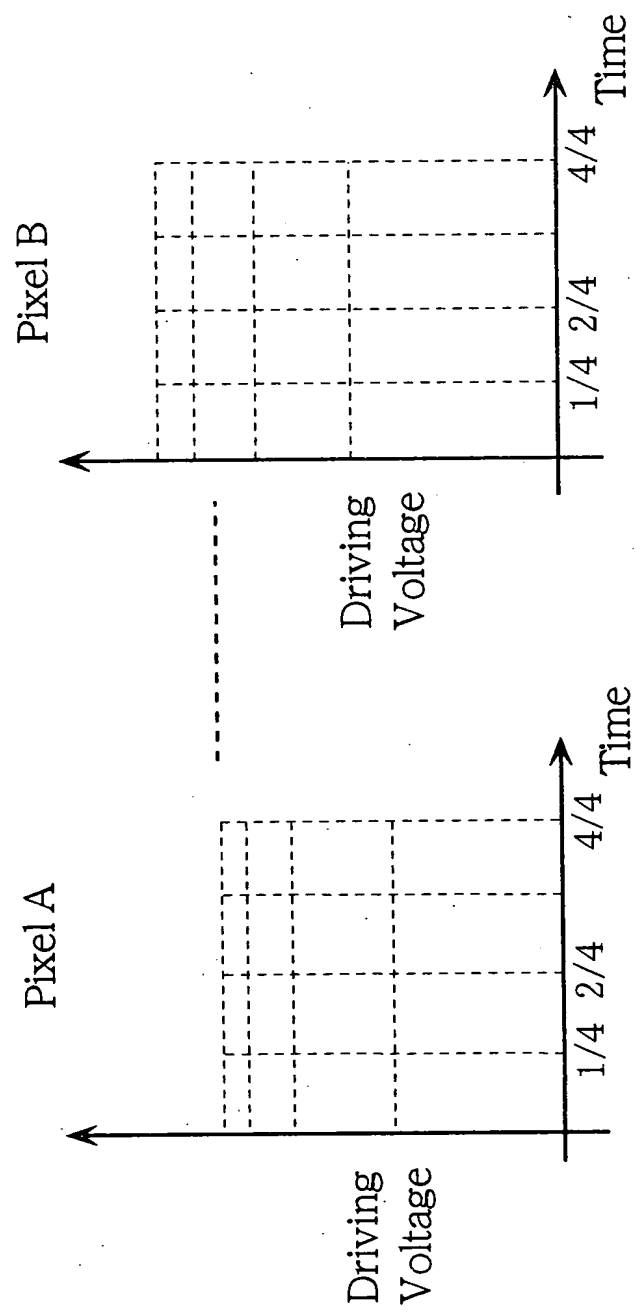


Fig. 20

Fig. 21

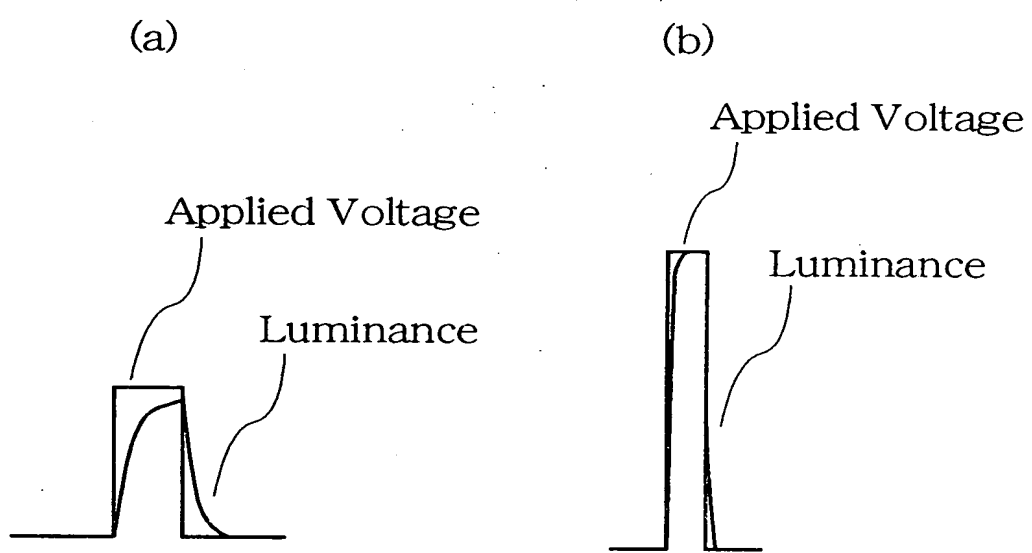


Fig. 22

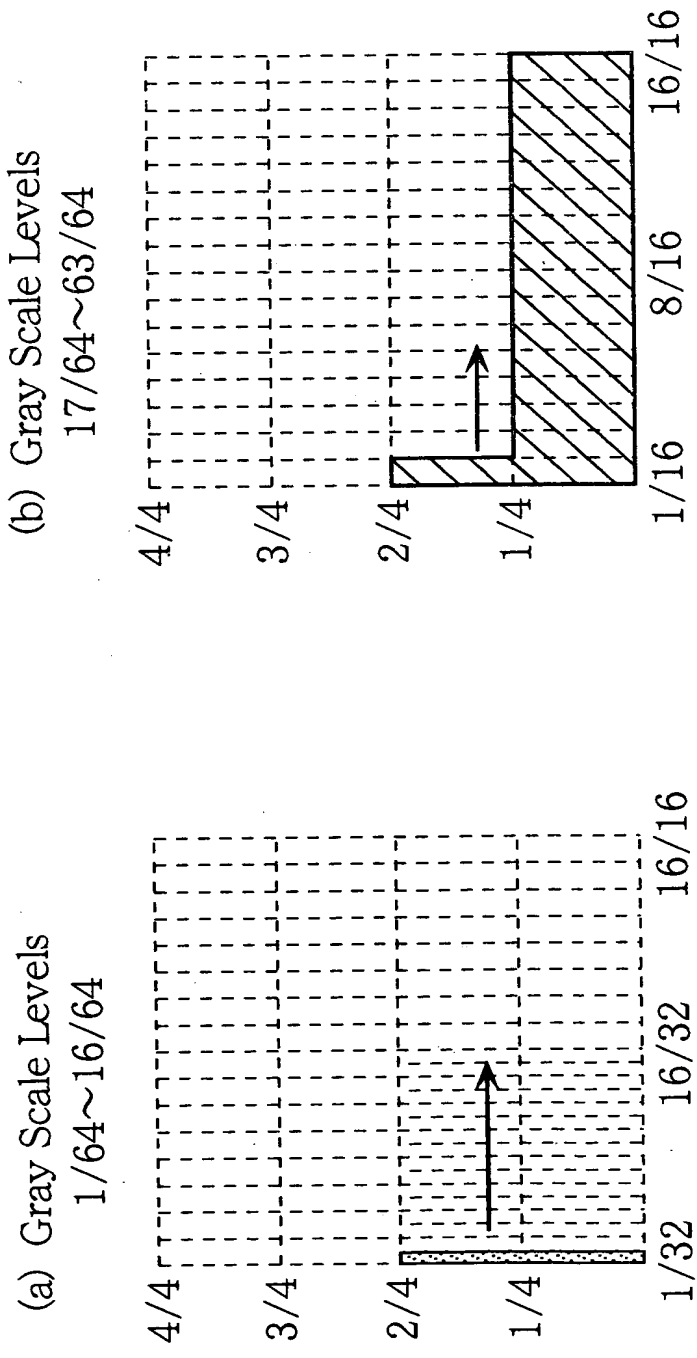


Fig. 23

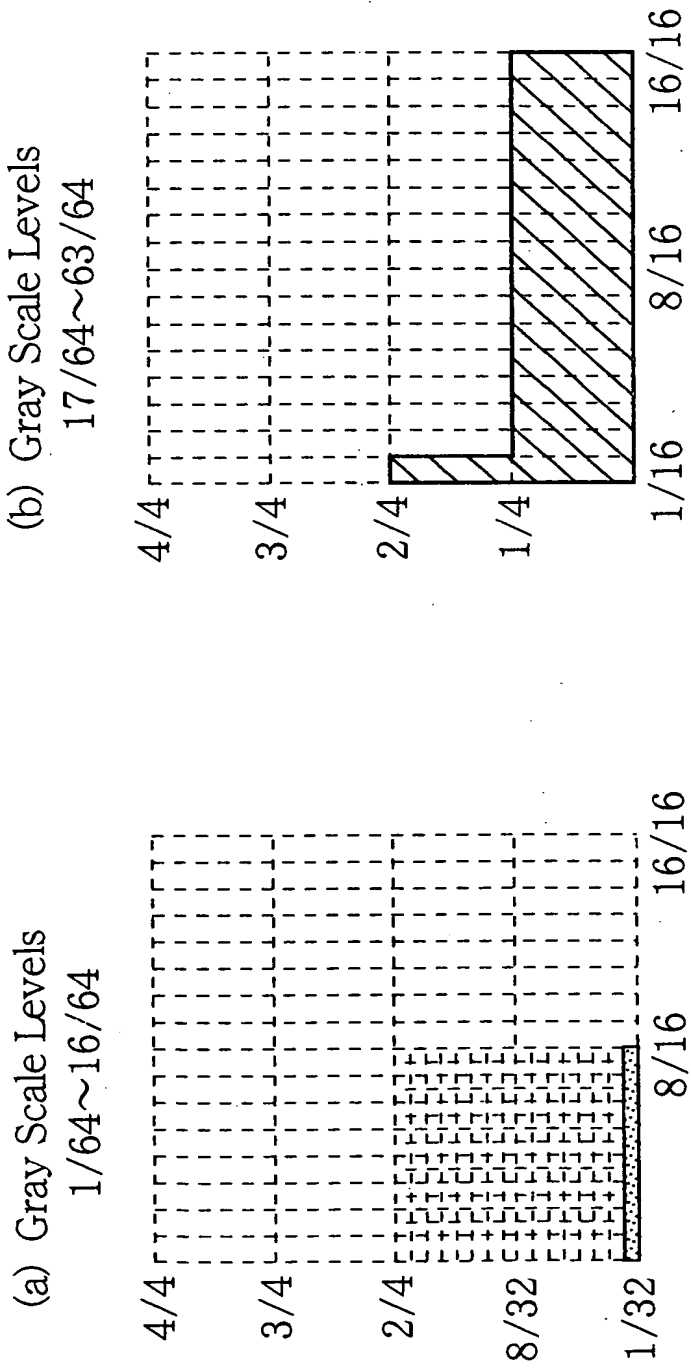


Fig. 24

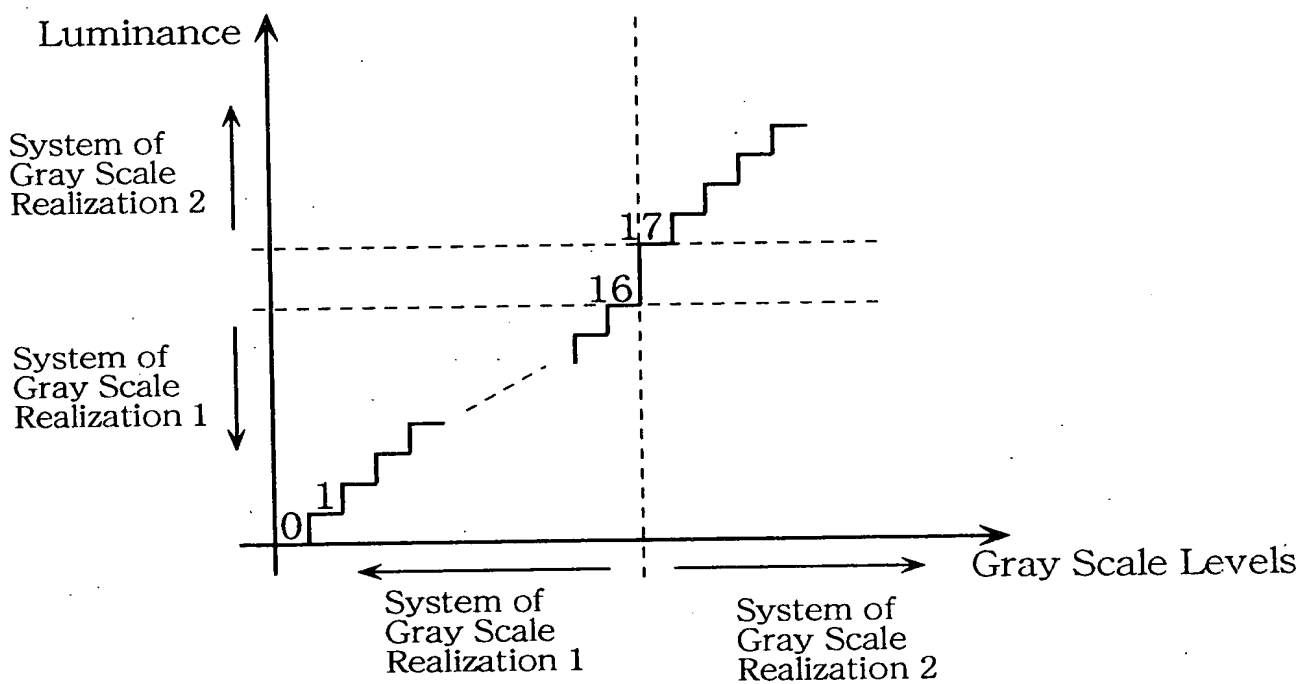
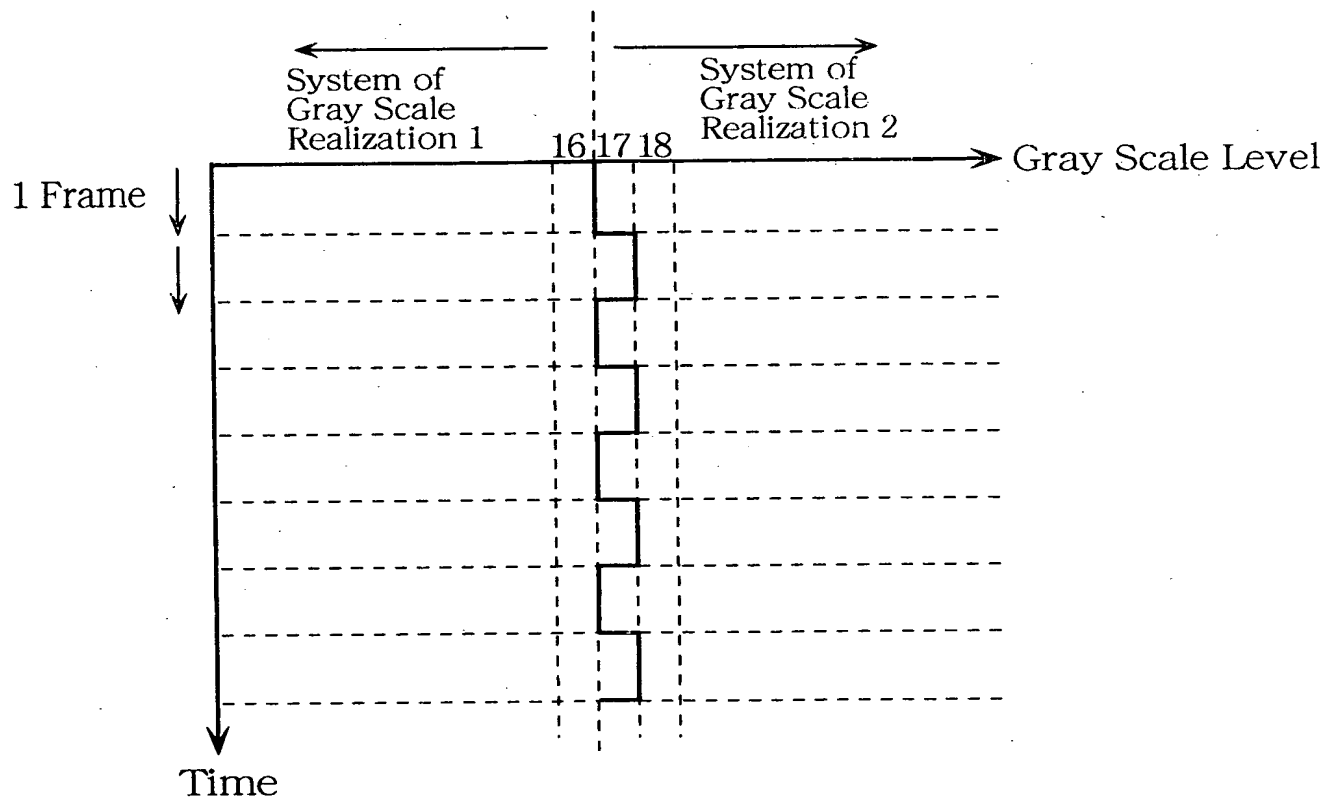


Fig. 25



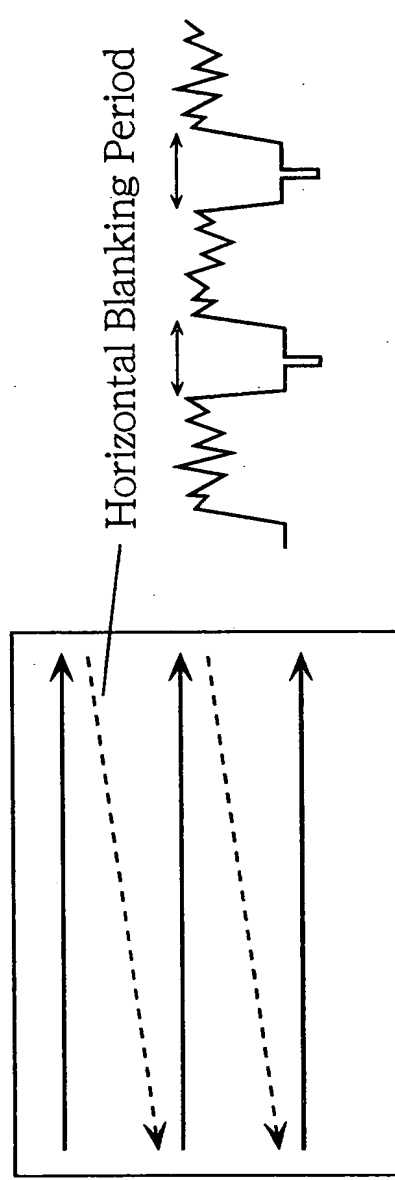


Fig. 26

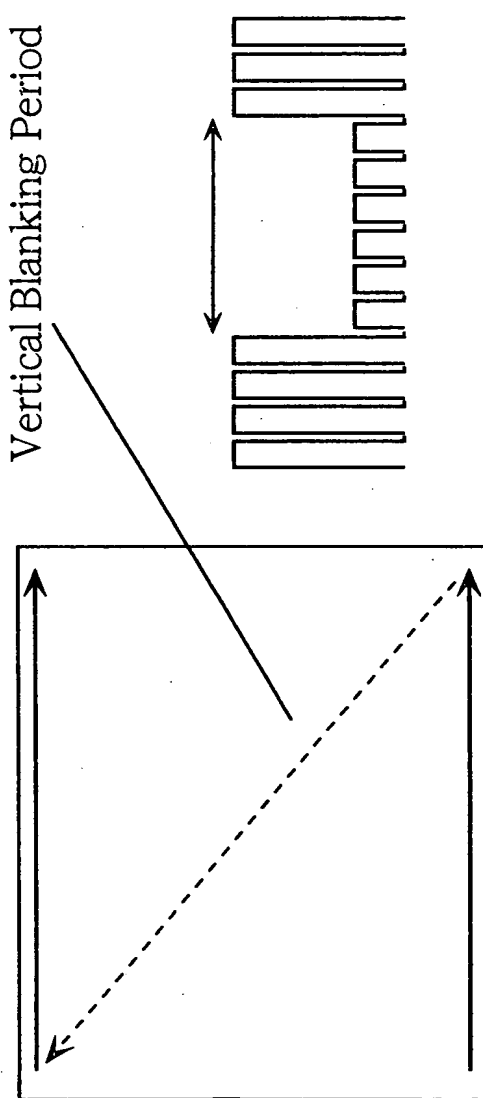


Fig. 27

Fig. 28

Luminance Correction Operation

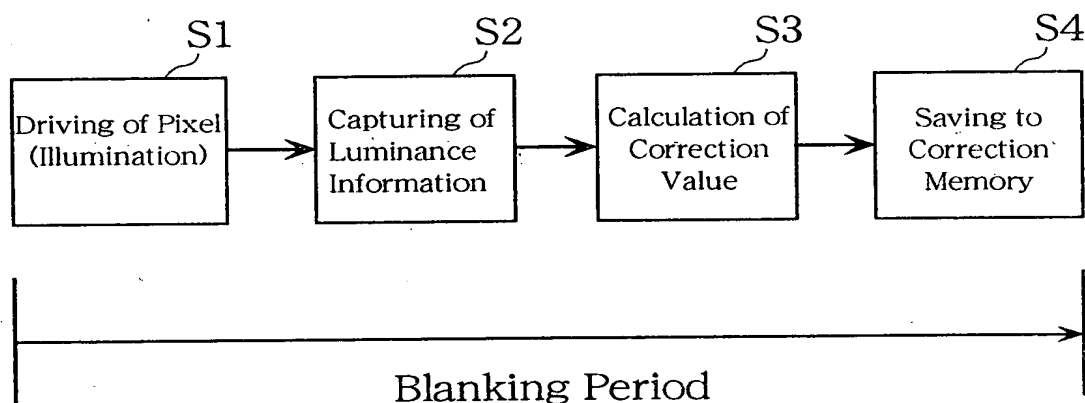


Fig. 29

Luminance Correction Operation

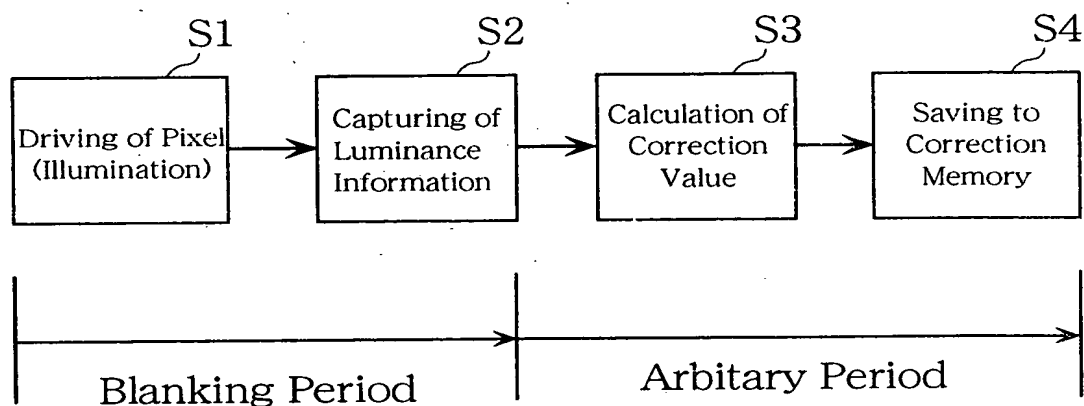


Fig. 30

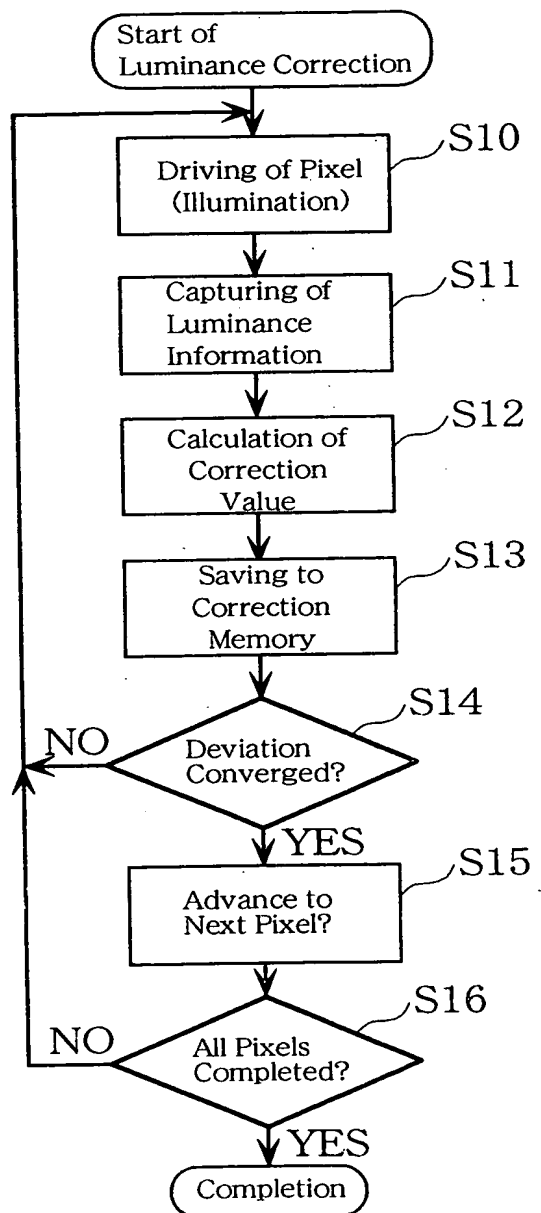


Fig. 31

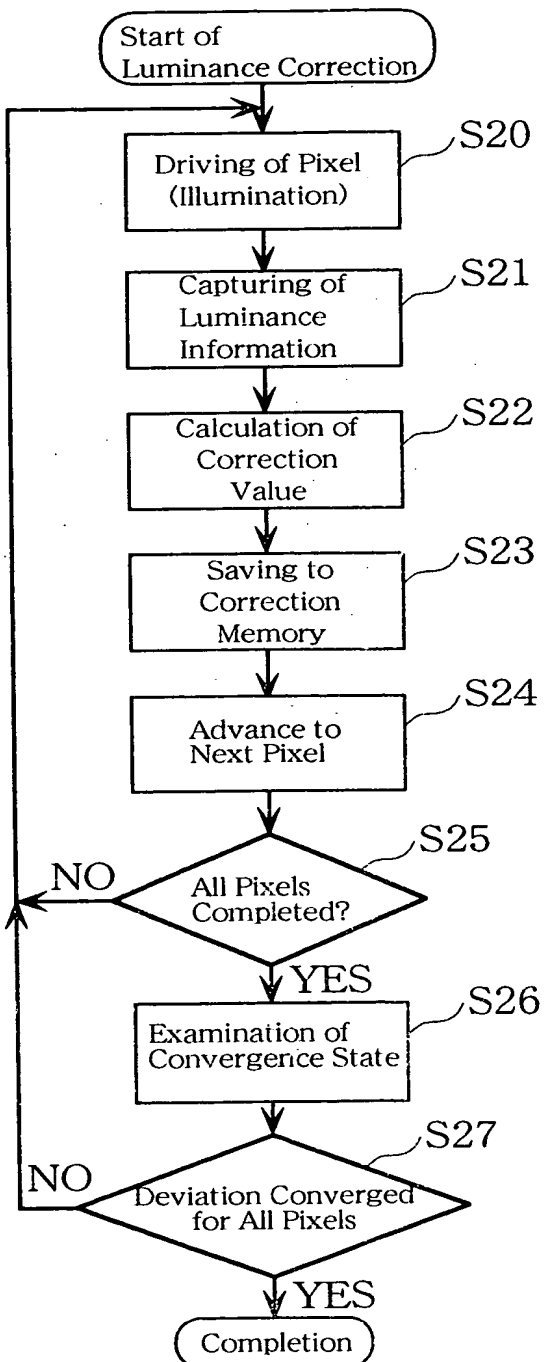


Fig. 32

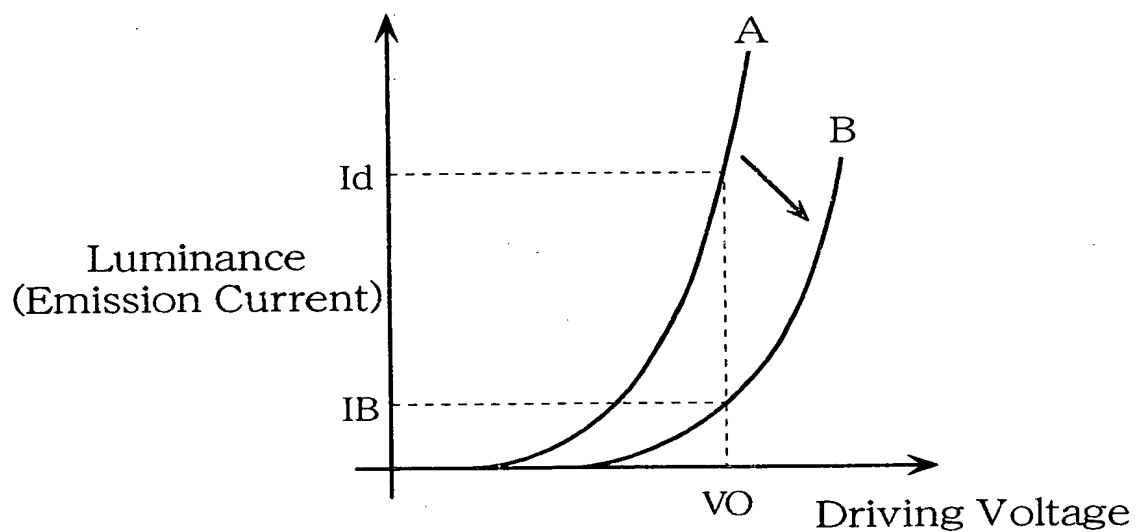


Fig. 33

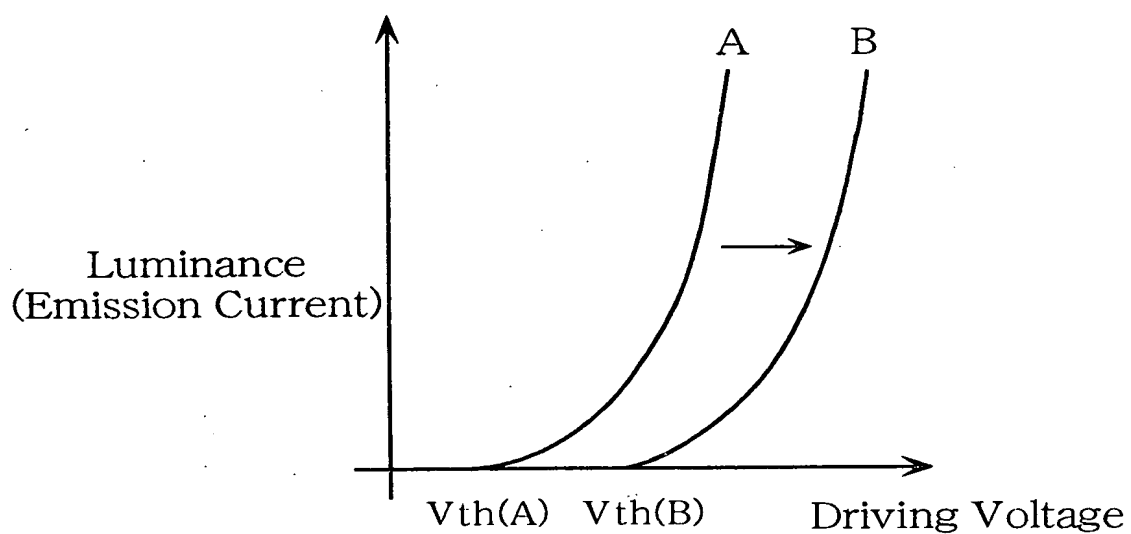


Fig. 34

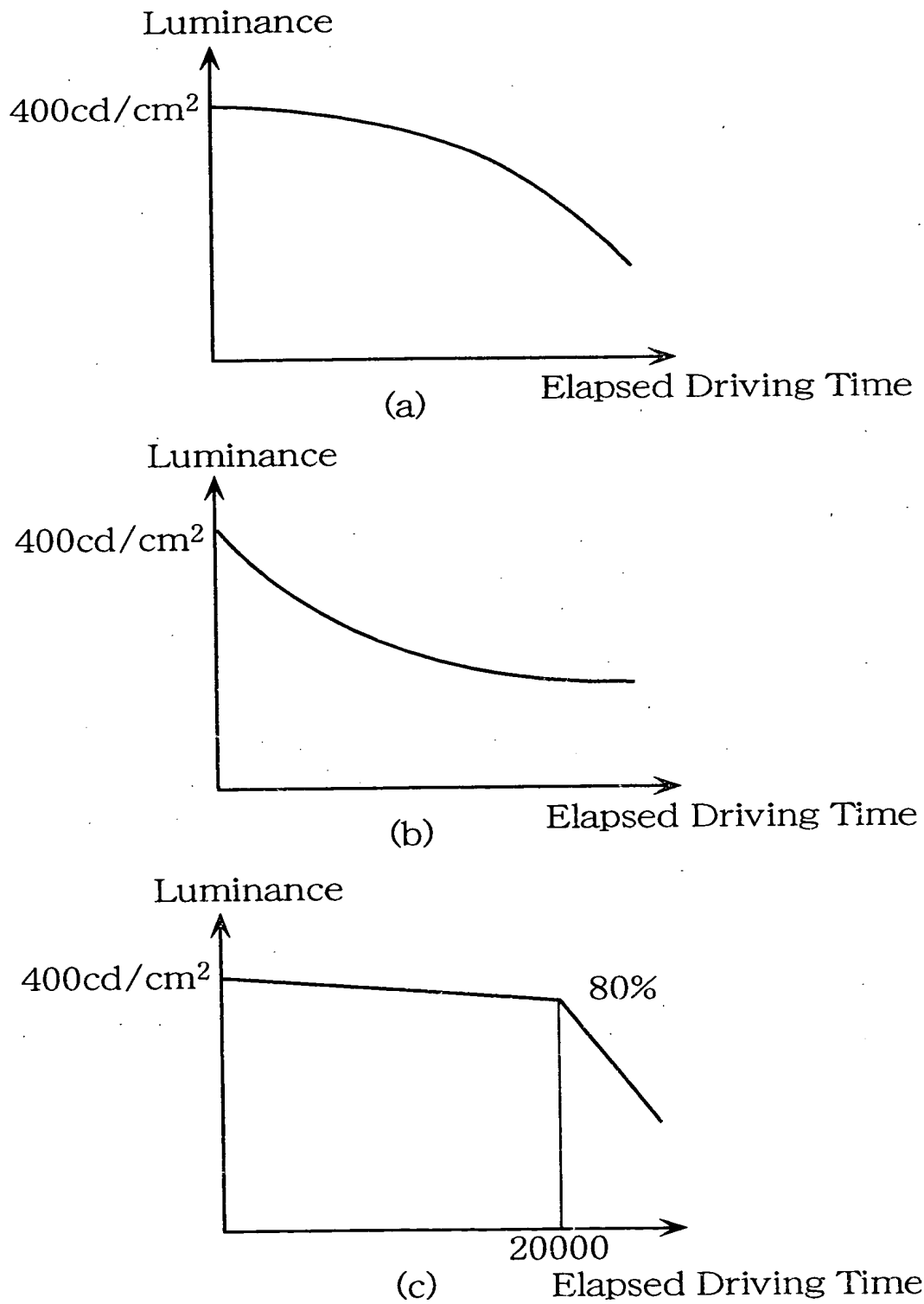


Fig. 35

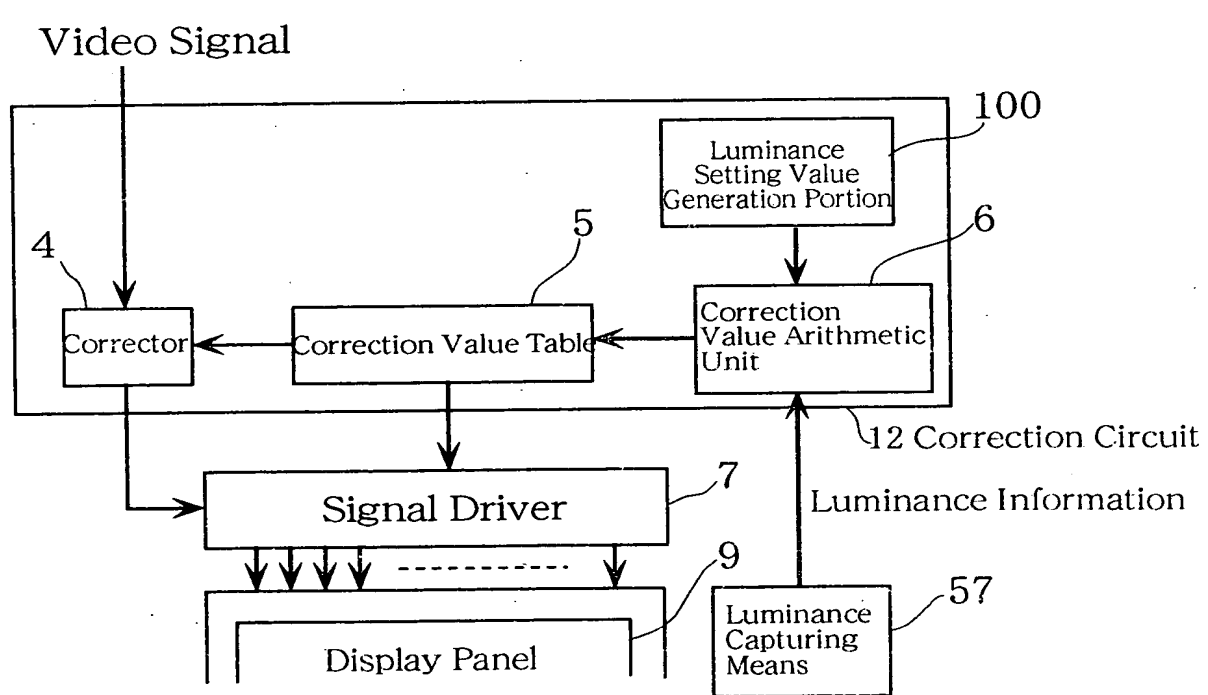


Fig. 36

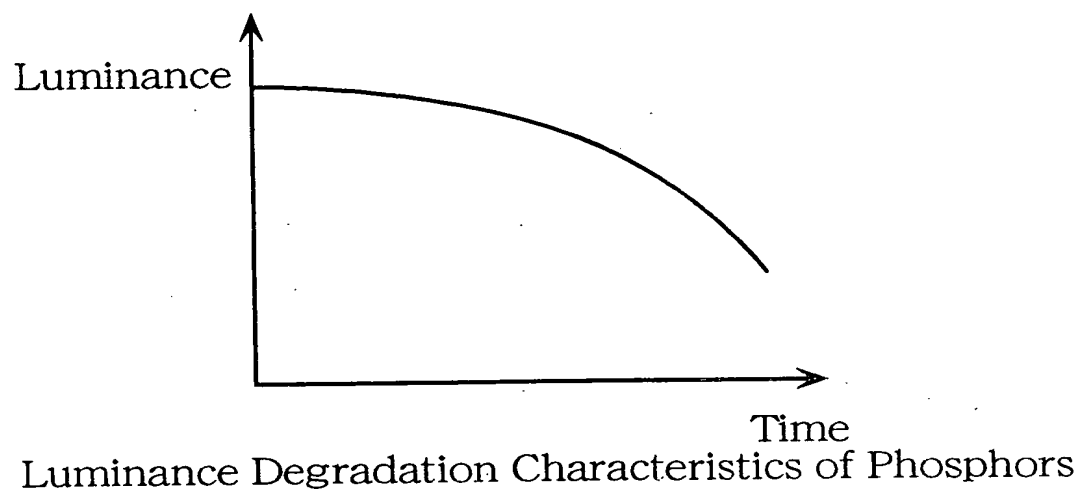


Fig. 37

Luminance Correction Operation

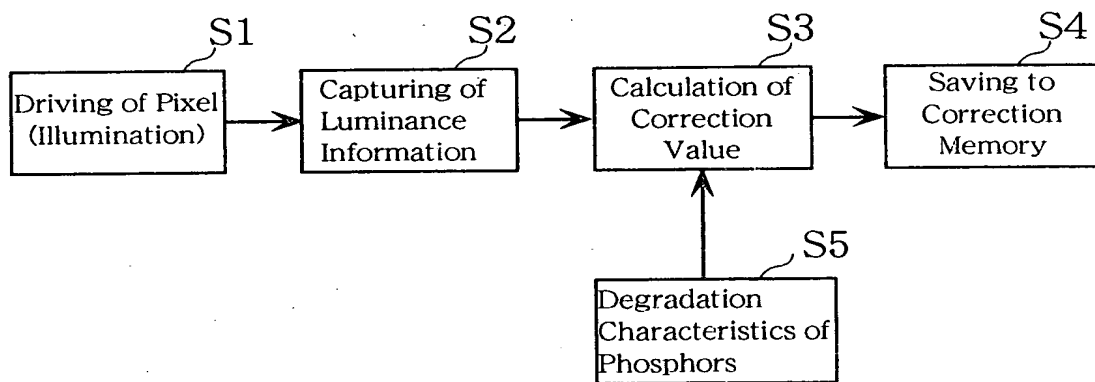


Fig. 38

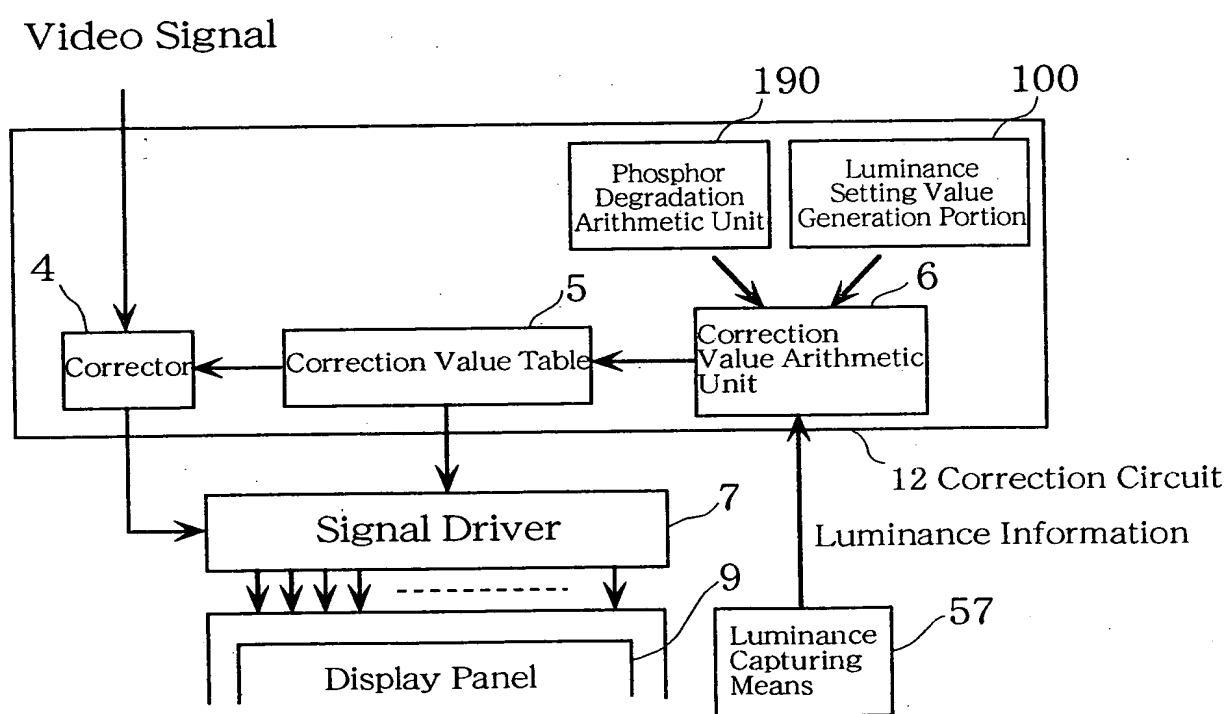
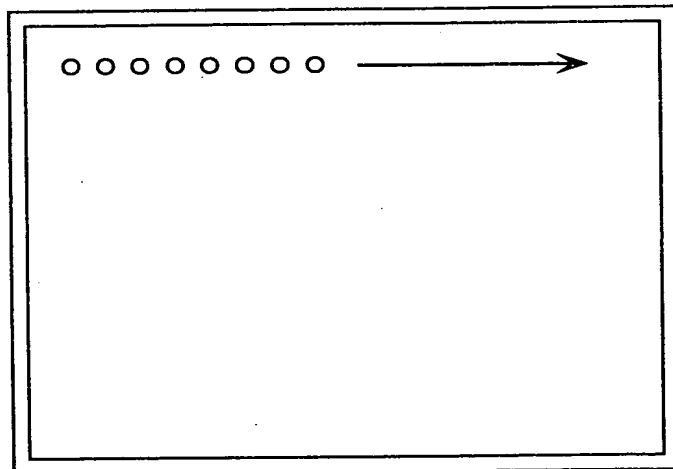


Fig. 39



10/089802

Fig. 40

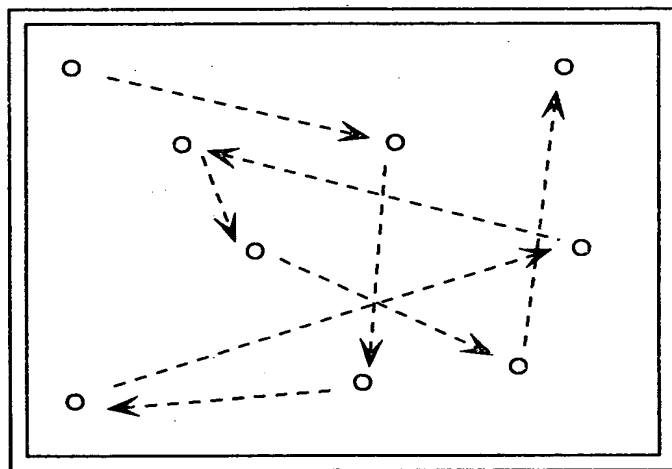


Fig. 41

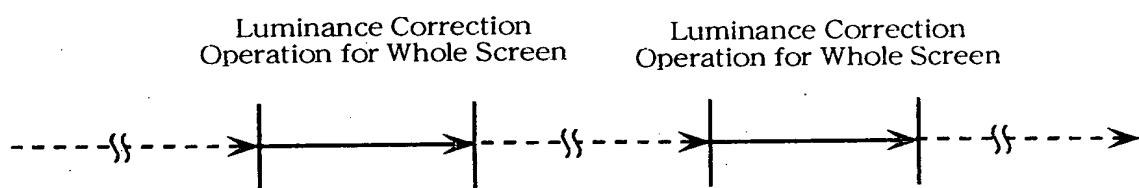


Fig. 42

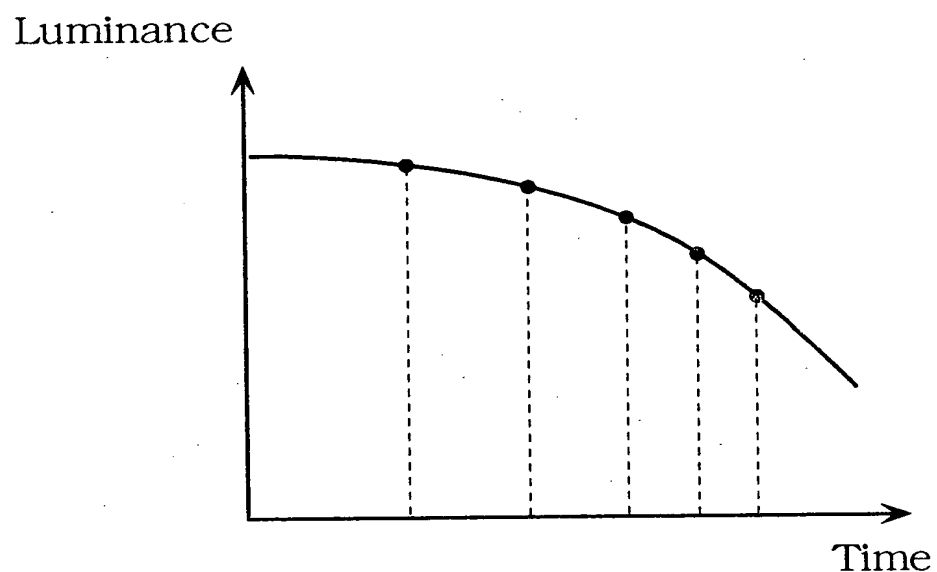


Fig. 43

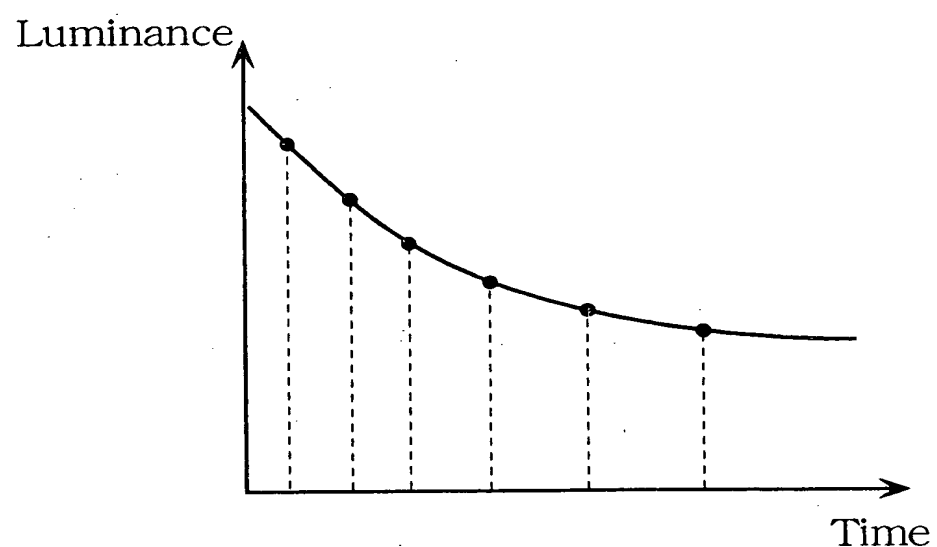


Fig. 44

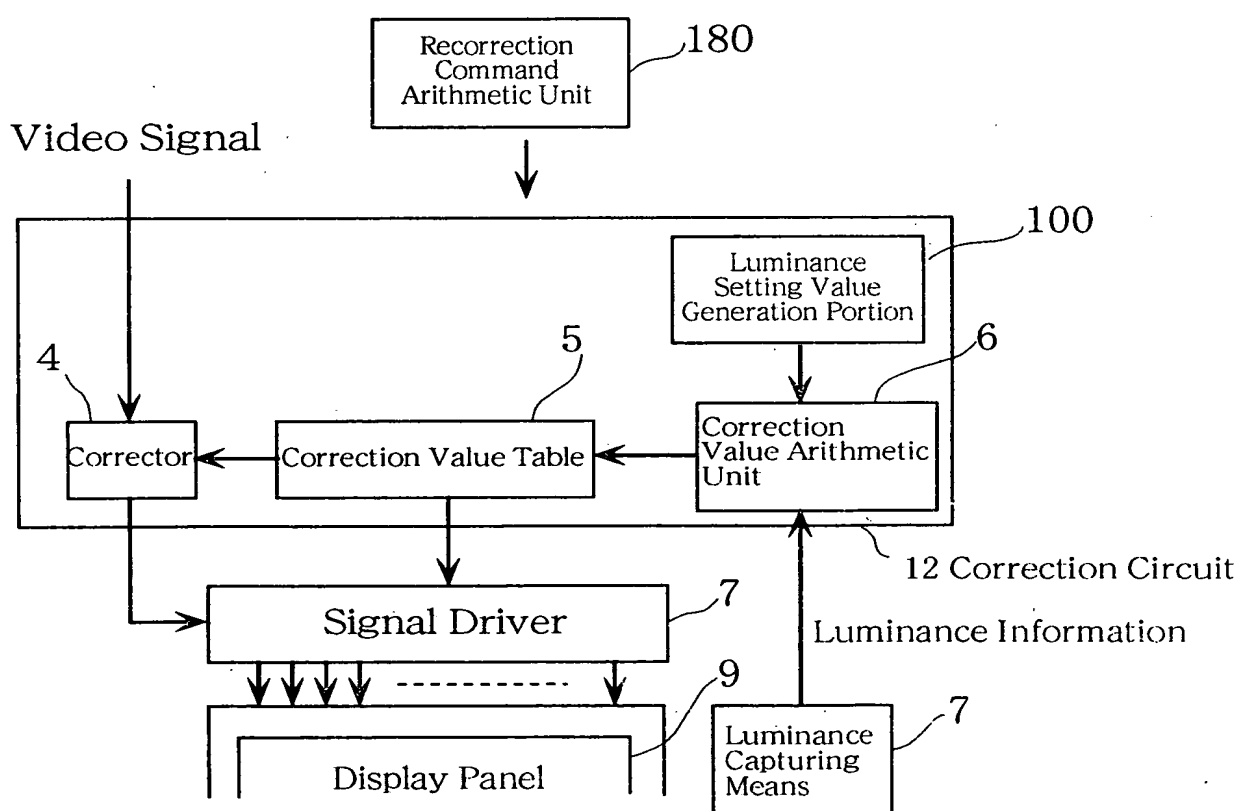


Fig. 45

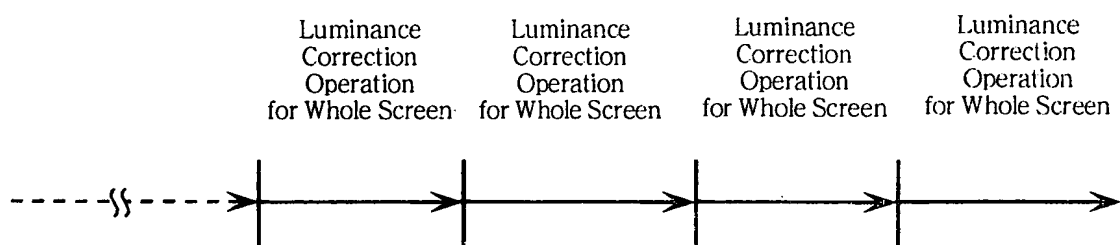


Fig. 46

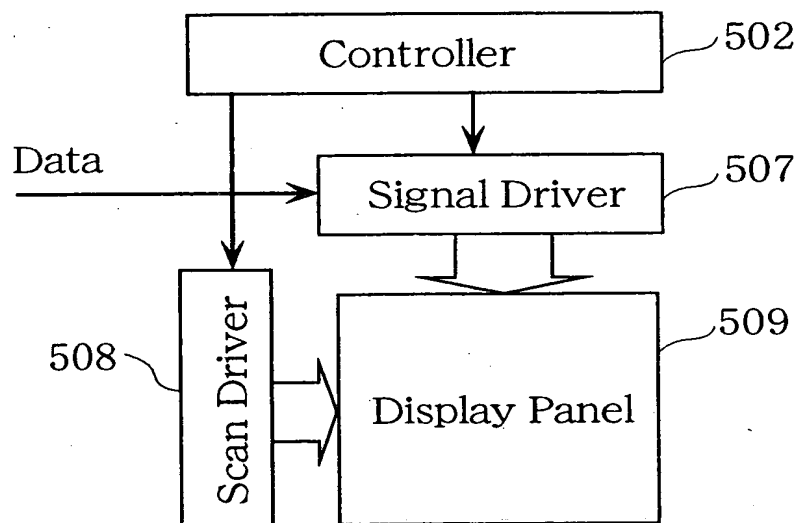


Fig. 47

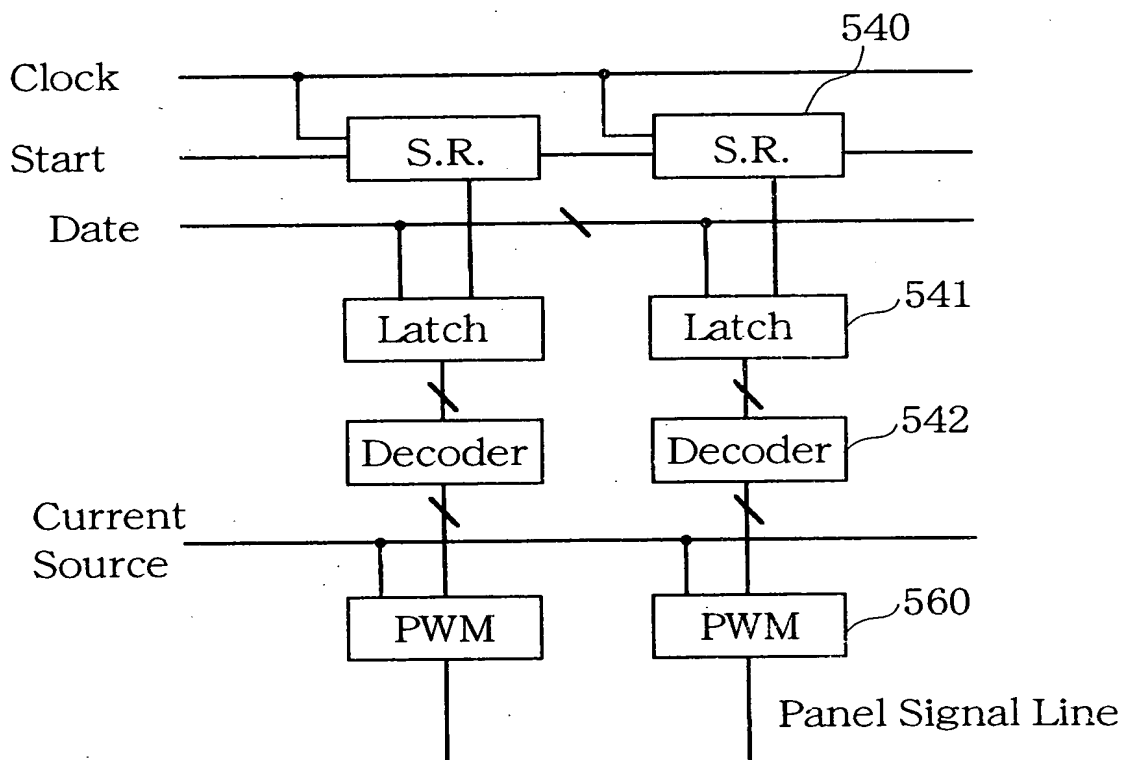


Fig. 48

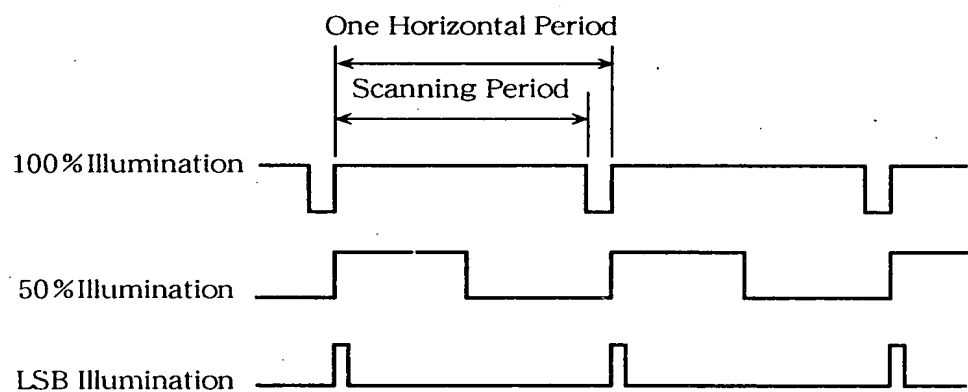


Fig. 49

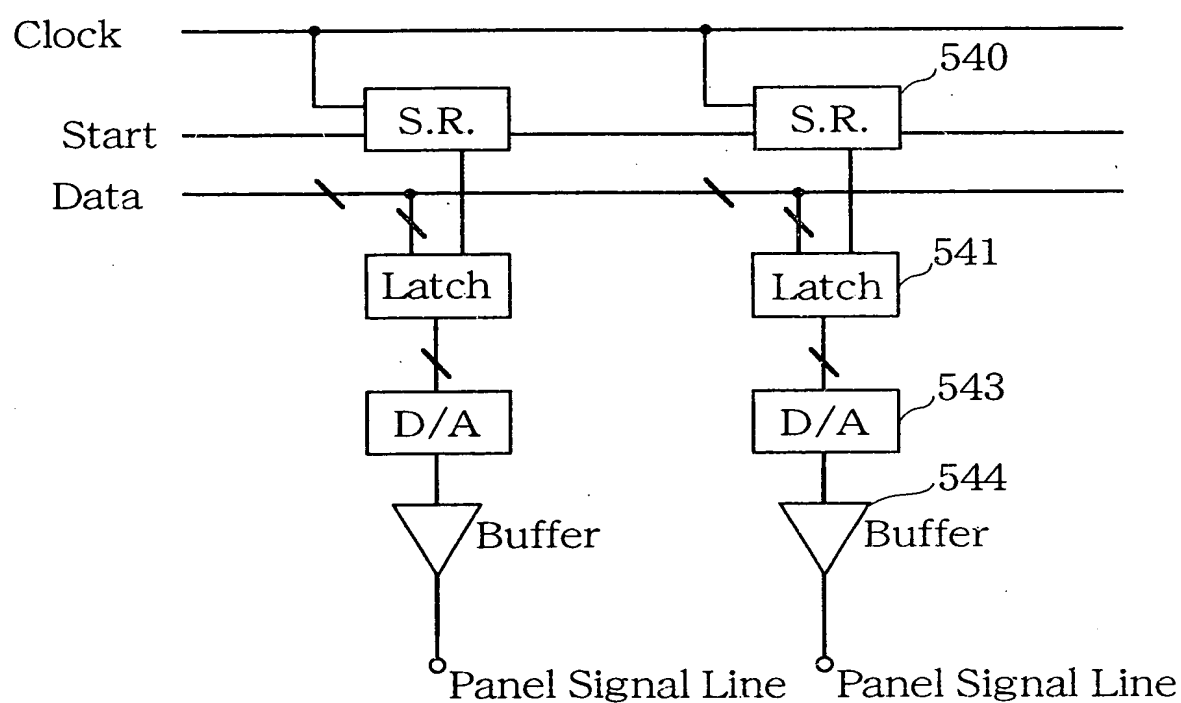


Fig. 50

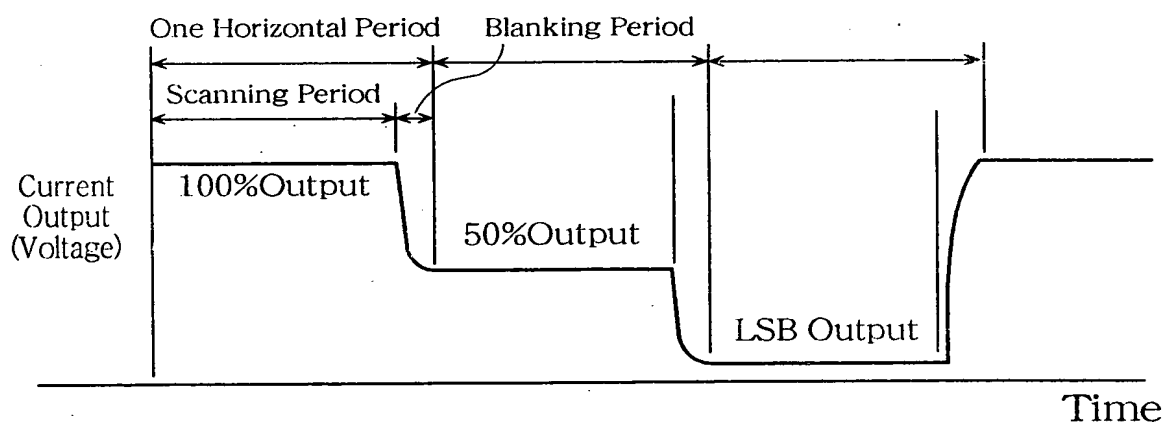


Fig. 51

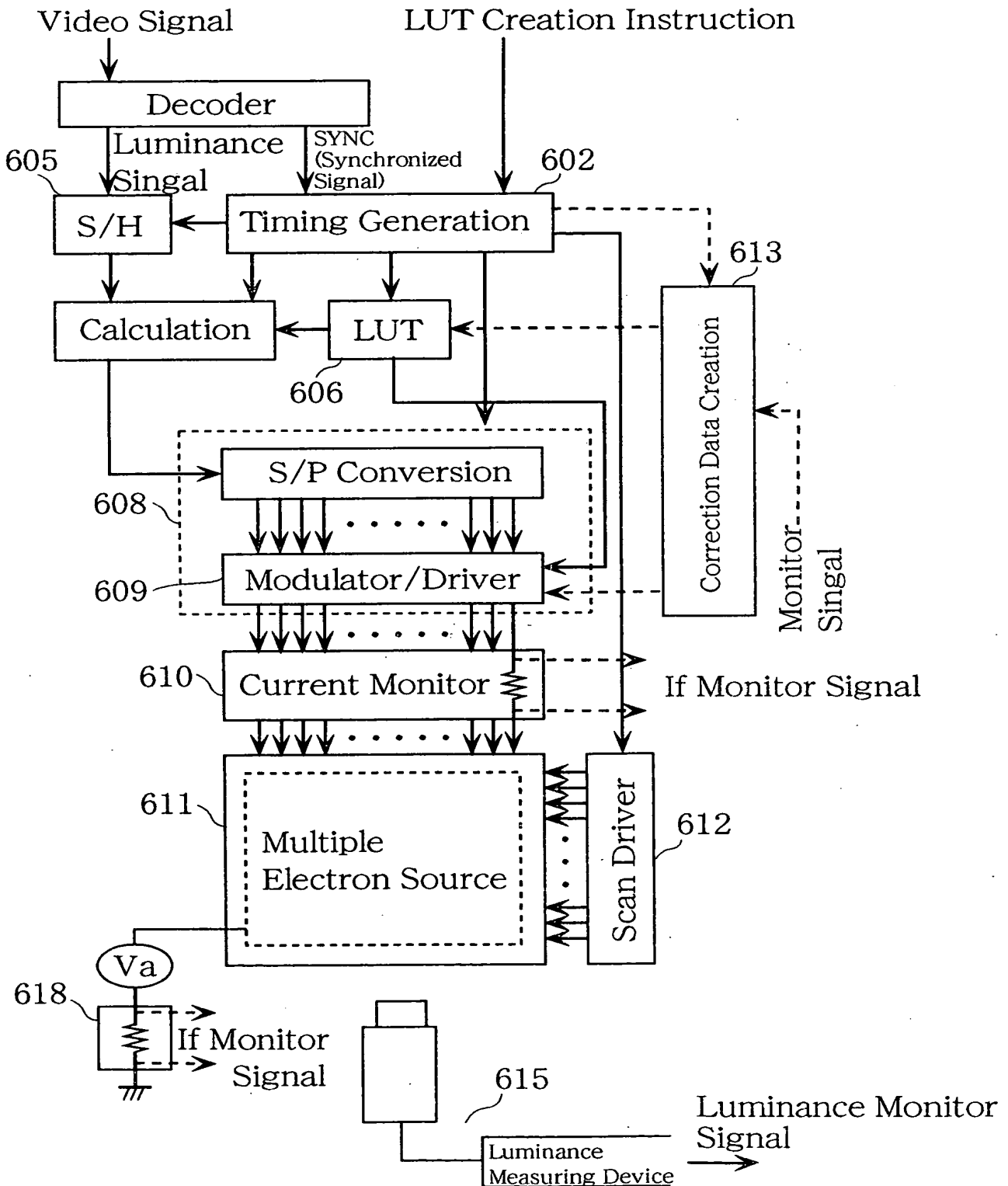


Fig. 52

